

بررسی بازیابی آلفاامیلاز با سامانه دو فازی آبی در ابعاد میکرو

فرشاد راجی^۱ و احمد رهبر کلیشمی^{۲*}

۱. کارشناسی ارشد مهندسی شیمی، آزمایشگاه فرایندهای پیشرفته جداسازی، دانشکده مهندسی شیمی نفت و گاز، دانشگاه علم و صنعت ایران، تهران، ایران.

۲. دانشیار گروه فرآیندهای جداسازی، آزمایشگاه فرایندهای پیشرفته جداسازی، دانشکده مهندسی شیمی نفت و گاز، دانشگاه علم و صنعت ایران، تهران، ایران.

دریافت: تیر ۱۴۰۰ بازنگری: آبان ۱۴۰۰ پذیرش: آبان ۱۴۰۰



10.30495/JACR.2022.692119



20.1001.1.17359937.1401.16.1.11.3

چکیده

سامانه دو فازی آبی ریزسیالی بستره مناسب برای جداسازی و بازیابی مواد زیستی در زمینه فناوری زیستی است. این سامانه امکاناتی را فراهم می‌کند که در روش‌های ماکرو امکان پذیر نیست یا به سختی قابل اجرا است. در این پژوهش، بازیابی آلفاامیلاز با سامانه دو فازی آبی پلی‌اتیلن گلیکول / سدیم سیترات، بر یک دستگاه ریزسیال شیشه‌ای که با روش لیزر CO_2 ساخته شده، بررسی شد. عامل‌های مؤثر با مقادیر متفاوت غلظت (50 mg/l تا 125 mg/l) و سرعت جریان (0.8 ml/h تا 2 ml/h) آزمایش شدند. روش سطح پاسخ (RSM) برای تعیین بهینه عامل‌های عملیاتی به کار گرفته شد. انتقال آلفاامیلاز از فاز نمک به فاز پلی‌اتیلن گلیکول با الگوی جریان موازی، انجام شد. مقادیر بدست‌آمده در نقطه بهینه نیز در مقایسه با مقدار پیش‌بینی شده از معادله‌های طراحی آزمایش، خطاً اندکی داشت. استفاده از سامانه ریزسیالی مورد مطالعه در این پژوهش به واسطه ابعاد میکرو، موجب افزایش بازیابی نسبت به سامانه‌های ماکرو خواهد بود. همین‌طور کاهش زمان این فرایند در ابعاد میکرو نسبت به ابعاد ماکرو قابل توجه بود.

واژه‌های کلیدی: ریزسیال، سامانه‌های دو فازی آبی، زیستمولکول، آلفاامیلاز، استخراج

سامانه‌های دو فازی مایع-مایع برای جداسازی و خالص سازی زیستمولکول‌ها موردنظر بوده است [۱ تا ۳]. استفاده از حلال‌های آلی در سامانه‌های دوفازی یک روش متداول است، ولی به دلیل اینکه مولکول‌ها در مواد آلی حل نمی‌شوند و بیشتر دچار تغییر ماهیت می‌شوند، محیط مناسبی

مقدمه

پیشرفت در بیوشیمی مستلزم توسعه در روش‌های جداسازی، استخراج و خالص‌سازی است. در مخلوط‌هایی با تعداد زیادی از اجزاء سلولی، هیچ روشی به تنها بی قادر به حل مساله جداسازی نیست. در سال‌های گذشته به کارگیری

پروتئین‌ها از دستگاهی شامل سه کanal ورودی که حاوی یک فاز غنی از پلی‌اتیلن گلایکول در جریان میانی و پتانسیم فسفات در دو جریان کناری برای تشکیل سامانه دو فازی آبی نمک-پلی‌اتیلن گلایکول، استفاده کردند [۱۱]. به دلیل تفاوت زیاد گران روی بین پلی‌اتیلن گلایکول و فازهای نمک، این سامانه عدم تعادل جریان زیادی را نشان می‌داد و جریان نمک در طول آزمایش نسبت به جریان پلی‌اتیلن گلایکول، هشت برابر حجم بیشتر نیاز داشت. همچنین، لو و همکارانش افزون‌براین، رفتار سامانه‌های دو فازی آبی با یک فصل مشترک را با پلی‌اتیلن گلایکول و سدیم سولفات در یک دستگاه ریزسیالی ساده T-شکل بررسی کردند [۱۲]. هوانگ و همکارانش از سامانه‌های دو فازی آبی ریزسیالی با جریان‌های هم‌محور برای بازیابی آلبومین سرم گاوی استفاده کردند. آن‌ها به همان بازده استخراج (۷۱٪) رسیدند که در یک سامانه ناپیوسته رخ داده بود. با این تفاوت که زمان بسیار کمتری صرف شده بود [۱۳]. نواک و همکارانش از سامانه دو فازی آبی با سه جریان ورودی برای استخراج آنزیم آلفا‌آمیلاز استفاده کردند. سامانه دو فازی آبی ماکرومیکراس، آلفا‌آمیلاز را از فاز پتانسیم فسفات با بازده ۷۴٪ در ۲/۵ ساعت استخراج کردند. سامانه ریزسیالی، استخراج را در ۱۰ ثانیه انجام داده بود، ولی تنها به بازده ۵۲٪ رسید. بازده استخراج به عنوان تفاوت غلظت بین ورودی و خروجی میکروکanal آلفا‌آمیلاز تعریف شده بود [۱۴].

با توجه به مطالعه‌هایی که در زمینه سامانه‌های دو فازی آبی ریزسیالی انجام‌شده در این مطالعه‌ها اثر pH، سرعت تزریق جریان بسیار و نمک و غلظت آلفا‌آمیلاز بر بازده استخراج به طور محدود بررسی شده است و اینکه گران روی فازها بر ایجاد جریان موازی و بازده استخراج چه تاثیری دارد از خلاصهای موجود در این زمینه است. در این پژوهش، اثر سرعت فازهای ورودی بر مقدار استخراج بررسی شد. دو فاز پلی‌اتیلن گلایکول ۴۰۰۰ و سدیم سیترات به عنوان فاز بسیار

برای جداسازی نیست. در این سامانه‌ها، زمان جدایی فاز تحت جاذبه به علت تفاوت کم چگالی دو فاز و گران روی آن‌ها، بین چند دقیقه تا چند ساعت طول می‌کشد [۴ تا ۶]. از طرفی، با توجه به اینکه در سامانه‌های دو فازی آبی کشش سطحی در سطح مشترک دو فاز به نسبت کم است، انتقال جرم بین دو فاز به سادگی و در زمان به نسبت کوتاهی صورت می‌گیرد [۷]. جداسازی مواد زیستی اهمیت ویژه‌ای نسبت به فراورده‌های شیمیایی دارد و جداسازی این مواد باید بر مبنای روش‌های پیشرفتۀ صورت گیرد.

روش‌های متداول جداسازی و خالص‌سازی مواد زیستی مانند پروتئین‌ها و مواد دارویی شامل رسوب‌دهی، جذب‌سطحی، سامانه‌های غشائی، گریزانه و سامانه‌های دوفازی آبی است که این سامانه‌ها به دلیل گران روی کم و زمان بسیار کوتاه برای جداسازی فازها کاربرد بیشتری نسبت به روش‌هایی مانند صاف‌کردن، به کارگیری گریزانه و غیره دارد. به دلیل ظرفیت بالا و سازگاری این سامانه با مواد زیستی بازدهی بالایی را ایجاد می‌کند. سامانه‌های ریزسیالی، مزایای ذاتی دارند که می‌توانند عملکرد سامانه‌های دو فازی آبی را تقویت کنند. سامانه‌های ریزسیالی می‌توانند هزینه‌های مواد مصرفی و حجم نمونه را به کمترین مقدار برسانند. در سامانه‌های ماکرومیکراس، جداسازی دو فاز آبی ممکن است ساعتها طول بکشد و بیشتر اوقات همزدن نیاز است. در حالی که در سامانه‌های ریزسیالی، جداسازی‌ها در چند ثانیه ممکن است رخ دهد [۸]. در سامانه‌های ماکرو، فازهای جدایشده آبی مانند طبقه‌های یک آپارتمن در یک گروه به صورت عمودی انباسته می‌شوند. در حالی که سامانه‌های ریزسیالی با میکروکanal چندگانه توأی‌ای تشکیل فصل مشترک‌های چندگانه را دارا هستند [۹]. مونچو و همکارانش نخستین سامانه‌های دو فازی آبی با فصل مشترک دوگانه را در یک سامانه دو فازی آبی بسیار-بسیار نشان دادند [۱۰]. میقر و همکارانش برای جدایی

که ورقه‌ها به طور کامل به هم پیوند داده شدند آب‌بندی کanal بررسی شد [۱۵].

سامانه دو فازی آبی ریزسیالی

در این پژوهش از سامانه دو فازی آبی پلی‌اتیلن - گلایکول / ۴۰۰۰ / سدیم سیترات استفاده شد. محلول حاوی (w/w) ۱۹,۷٪ پلی‌اتیلن گلایکول و (w/w) ۲۰,۴٪ سدیم سیترات در آب دو بار تقطیر تهیه شد. به دلیل مشکل‌های بازیابی نمک‌هایی مانند فسفات‌ها و سولفات‌ها و مسائل زیست‌محیطی به وجود آمده ناشی از آن‌ها، پژوهشگران به سمت نمک‌هایی که ساده‌تر تجزیه می‌شوند، همچون نمک‌های سیترات، سوق داده شده‌اند. برای رسم منحنی بینووال از روش تیترکردن نقطه ابری در دمای ۲۵°C استفاده شد. در این روش ابتدا محلول پایه و شفافی از نمک تردی سدیم سیترات تهیه شد. سپس با بورت محلول غلیظ و شفاف پلی‌اتیلن گلایکول ۴۰۰۰ قطره قطره به محلول نمک در حال اختلاط افزوده شد. عبور نور از سامانه بسپار + نمک + آب و شفافیت آن نشان‌دهنده تشکیل سامانه دو فازی و کدرشدن آن نشان‌دهنده تشکیل سامانه دو فازی است. بنابراین، هنگامی که نخستین قطره از بسپار محلول را کدر کرد، عمل افزودن قطع و حجم افزوده شده یادداشت شد. سپس، برای تعیین نقطه بعدی بر منحنی بینووال، به محلول کدر درون بشر مقدار ناچیزی آب دو بار تقطیر شده به صورت قطره‌قطره افزوده شد تا به حالت شفاف و تک فازی درآید. حجم دقیق آب افزوده شده یادداشت شد. دوباره عمل افزودن محلول بسپار ادامه داده شد تا محلول درون بشر کدر شود. به همین صورت نقاط بعدی نیز یادداشت آمد. از روی حجم‌های یادداشت شده می‌توان با استفاده از چگالی محلول‌های آبی بسپار، درصد وزنی مقدار بسپار افزوده شده را محاسبه کرد [۱۶ و ۱۷].

و نمک به کار گرفته شده و با توجه به گران‌روی این دو فاز به بررسی سرعت‌هایی که در آن‌ها جریان موازی حاکم بود، پرداخته شد.

بخش تجربی مواد و روش‌ها

جزئیات ویژگی‌های بسپار و نمک آبی مورد استفاده در این مطالعه در جدول ۱ ارائه شده است. در همه آزمایش‌ها از آب دوبار تقطیر استفاده شد. آنزیم مورد استفاده، آنزیم آلفا‌امیلا (EC 3.2/1/1) باسیلوس ساپستیلیس با خلوص ۹۹٪ و جرم مولکولی ۵۷۶kDa از شرکت سیگما-آلریچ خریداری شد.

جدول ۱ ترکیب‌های شیمیایی مورد استفاده

نام ماده	ساختار شیمیایی	فرمول مولکولی	چگالی (g/cm ³)	شرکت سازنده
تری‌سدیم سیترات		Na ₃ C ₆ H ₅ O ₇	1,7	مرک
پلی‌اتیلن گلایکول		C _{2n} H _{4n+2} O _{n+1}	1,12	مرک

ساخت میکروکanal شبشه‌ای

در ساخت میکروکanal‌ها از شبشه پیرکس و ایزوپروپیل الکل خریداری شده از شرکت مرک آلمان به عنوان واکنشگر استفاده شد. شبشه از مزایایی همچون ثبات سطح، بی‌اثر شیمیایی، سازگار با محیط‌زیست و سازگار با حالاتی درآید بهره می‌برد. با به کارگیری روش لیزر CO₂ با حکاکی سریع و ارزان، طرح از پیش طراحی شده با عرض ۴۰۰، عمق ۳۰۰ میکرون و در طول ۸ سانتی‌متر بر شبشه حکاکی شد. پس از شستشو سطح کanal با ایزوپروپیل الکل از روش پیوند مستقیم شبشه زبرین و رویی درون کوره استفاده شد. زمانی

که در آن R نسبت حجم فاز بالایی به فاز پایینی تعريف می شود که در این پژوهش، فاز بالا فاز غنی از پلی اتیلن - گلایکول و فاز پایین غنی از نمک است [۱۸ و ۱۹].

مشخصه یابی

برای بررسی تعیین غلظت آلفاامیلаз با دستگاه UV- Shimazu UV-1800, Japan) در طول موج بیشینه ۲۸۳ نانومتر اندازه گیری شد. از ۶ محلول استاندارد با غلظت های مختلف برای تهیه منحنی واسنجی استفاده شد.

طراحی آزمایش

روش سطح پاسخ یک شاخه مهم از طراحی آزمایش و یک فناوری مهم در توسعه یک فرایند جدید و بهینه سازی عملکرد آن برای بهتر کردن کیفیت و ساختار فراورده جدید است. مراحل طراحی به روش سطح پاسخ شامل مراحل زیر است:

۱. انتخاب متغیرهای مستقل که بیشترین تأثیر را بر فرایند دارند.

۲. انتخاب طراحی آزمایش و تهیه ماتریس آزمایشها برپایه مدل طراحی انتخاب شده

۳. انتخاب محاسبه های ریاضی - آماری برای مدل کردن تابع چند جمله ای

۴. بررسی اهمیت و مناسب بودن مدل

۵. به دست آوردن مقدار بهینه برای هر کدام از متغیرها در روش طراحی آزمایش ابتدا باید عامل ها یا متغیرهای تاثیرگذار بر فرایند جداسازی انتخاب شوند. در مطالعه حاضر، ۳ عامل غلظت آنزیم، pH و سرعت جریان متغیرهای مهمی هستند که برای بازیابی آنزیمها مطالعه شده اند. برای مطالعه تأثیر همزمان عامل های عملیاتی در چندین سطح، از نرم افزار Design expert (نسخه ۱۱/۰) استفاده شد. پاسخ موردنظر بر حسب مقدار بازدهی بازیابی آنزیمها با سامانه دو فازی آبی پلی اتیلن گلایکول - سدیم سیترات تعريف شده است. مقدار

روش انجام آزمایش ها

در این پژوهش از میکرو کanal با ورودی Y- شکل استفاده شده است. آمیلازها از جمله آنزیم های پر کاربرد صنعتی هستند، آمیلازها ساختاری پروتئینی دارند و به سه زیر گروه آلفا آمیلاز، بتا آمیلاز و گاما آمیلاز (γ -Amylase) گروه بندی می شوند. آمیلازها تنها آنزیم هایی هستند که توسط گیاهان، حیوان ها و ریزاندامگان ها تولید می شوند و نقش مهمی در متابولیسم کربوهیدرات ها دارند. سامانه دو فازی بسپار - نمک به دلیل مزایایی زیاد نسبت به سامانه های بسپار - بسپار و سامانه های شامل مایع یونی مور استفاده قرار گرفت. پمپ سرنگی مدل 4SP94-1 ساخت شرکت زیست راد ایران، به کار گرفته شد. همه سامانه های دو فازی آبی با وزن برابر از محلول های نمکی (در غلظت (w/w) ۰/۲۰٪) و محلول پلی اتیلن گلایکول (در غلظت (w/w) ۱۹/۷٪) تهیه شدند. در طول انجام آزمایش سرعت جمع آوری و حرکت درون میکرو کanal از ۰/۸ تا ۲ ml/h است. در طول مراحل انجام آزمایش به علت تفاوت گران روی دو محلول، سرعت جریان فاز نمک دو برابر سرعت جریان فاز پلی اتیلن گلایکول است. از این رو، محلول با گران روی بیشتر (فاز پلی اتیلن گلایکول) اگر با سرعت برابر تزریق شود به مرور کل سطح کanal را پوشاند و اجازه ورود به فاز با گران روی کمتر (فاز نمک) را نمی دهد. در همه این سرعت ها جریان، الگوی جریان موازی حاکم است. پایداری جریان های موازی در ورودی، خروجی و همچنین، دو فصل مشترک موجود در کanal اصلی و انتقال آلفا آمیلاز به فاز بسپار با میکروسکوپ مدل P-HR3-TRF از HUVITZ واپایش و عکس برداری شد. ضرایب پاریشن K و بازده استخراج ($Y_e\%$) آنزیمها با معادله های ۱ و ۲ محاسبه شدند.

$$K = \frac{C_t}{C_b} \quad (1)$$

$$Y_e \% = \frac{100}{(RK)^{-1} + 1} \quad (2)$$

ضرایب خطی، مرتبه دوم و برهمکنش دو متغیر و error مقدار خطا است [۲۰].

جدول ۲ گستره عامل‌های مورد مطالعه و سطح آنها

عامل	نام	واحد	نوع	سطح پایین	سطح بالا
pH	A	-	عددی	۵	۹
سرعت جریان	B	ml/h	عددی	۰/۸	۲
غلظت	C	mg/l	عددی	۵۰	۱۲۵

مدل درجه دوم پیش‌بینی بازیابی آلفا آمیلاز در معادله ۴ ارائه شده است.

$$\begin{aligned} & -143/64884 + 45/41907 \times \text{pH} + 49/28706 \times \text{سرعت جریان} + 3/22545 \times \text{غلظت} \\ & - 15/79672 \times (\text{غلظت})^2 + 0/000231 \times (\text{سرعت جریان}) + 0/028650 \times \text{pH}^2 \\ & - 0/0225500 \times \text{سرعت جریان} \times \text{غلظت} - 0/438466 \times \text{pH} \times (\text{غلظت}) \quad (4) \end{aligned}$$

و پیش‌بینی شده است که اعتبار مدل را تأیید می‌کند. مقدار ضریب تعیین تنظیم شده^۱ برابر ۰/۹۷۴۶ و به طور کامل مناسب است. مقدار دقت کافی^۲ که نشان‌دهنده تفاوت بین مقادیر پیش‌بینی شده و مقادیر میانگین خطای پیش‌بینی شده است باید بزرگتر از ۴ باشد که در این مطالعه برابر ۲۹/۴۸۱۹ است. مقدار متغیر آماری P کمتر از ۰/۰۵ نشان‌دهنده دقت بالای مدل‌های ارائه شده است و مقادیر P بزرگ‌تر از ۰/۰۱ نشان‌دهنده دقت پایین مدل‌های ارائه شده است. همان‌طور که در جدول نشان داده شده مقدار متغیر آماری P مدل پیشنهادی کمتر از ۰/۰۵ است. بنابراین، بررسی کامل برآوردهای آماری نشان داد که مدل ارائه شده برای پیش‌بینی پاسخ متغیرها از نقطه نظر آماری در گستره مورد قبولی قرار دارد. نقص برازش^۳ مدل برابر است با ۰/۷۵۰۷ که می‌تواند ناچیز شمرده شود و مدل به خوبی متناسب می‌شود.

بازدهی استخراج برپایه معادله ۲ محاسبه شد. گستره متغیرها و سطوح استفاده شده در جدول ۱ گزارش شده است. همچنین، از معادله چندجمله‌ای درجه دوم برای پیش‌بینی بازیابی آلفا آمیلاز از معادله ۳ استفاده شد.

$$Y = \beta_0 + \sum_{i=1}^m \beta_i X_i + \sum_{i=1}^m \sum_{j=1}^m \beta_{ij} X_i X_j + \sum_{i=1}^m \beta_{ii} X_i^2 + \text{error} \quad (3)$$

که در آن، متغیر Y پاسخ پیش‌بینی شده، β_0 ضریب ثابت، X_i و X_j مقدار متغیرهای مستقل، β_i ، β_{ij} به ترتیب

در معادله ۴ ضرایب معادله به دست آمده از وایازش، به مبنای مقادیر در نظر گرفته شده از متغیرهای مستقل، pH، سرعت جریان و غلظت آنژیم به دست آمده است. نتیجه آزمایش و مقدار پیش‌بینی شده در جدول ۳ نشان داده شده است. بررسی مدل پیش‌بینی شده با تحلیل وردایی، ضریب تعیین (R^2) و نمودارهای آماری انجام شد.

تحلیل وردایی: با تجزیه و تحلیل وردایی و نمودارهای آماری مدل پیشنهادی بررسی شد. در تجزیه و تحلیل نتیجه‌های به دست آمده از آزمایش‌ها نکته مهم این است که مشخص شود آیا تغییرهای مشاهده شده در پاسخ ناشی از تغییر سطوح عامل‌های موردنظر است یا این تغییرها تنها به خطاهای تصادفی اندازه‌گیری‌ها مربوط می‌شوند. نرم‌افزار طراحی آزمایش تحلیل داده‌های جمع‌آوری شده را با جدول ANOVA نمایش می‌دهد. جدول ۴ نشان‌دهنده تحلیل وردایی است.

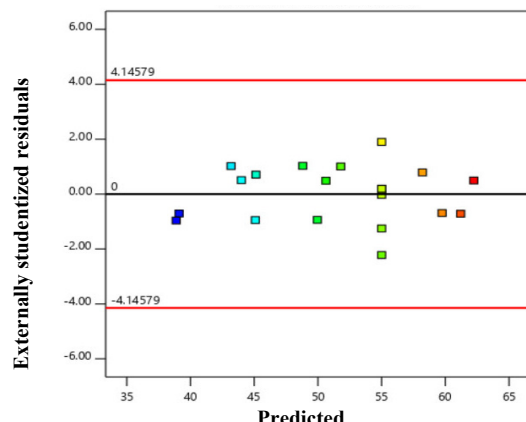
ضریب تعیین: ضریب تعیین ($R^2 = 0/۹۸۶۶$) که نزدیک به ۱ است نشان‌دهنده همبستگی بالا بین مقادیر مشاهده شده

1. Adjusted R^2

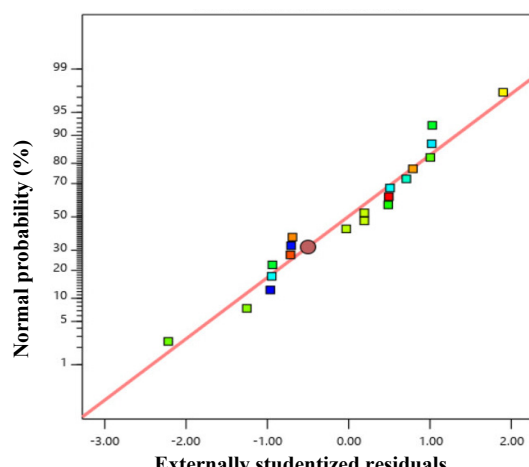
2. Adequate precision

3. Lack of fit

نشان می دهد که همخوانی خوبی بین پاسخ پیش‌بینی شده و پاسخ تجربی وجود دارد. بنابراین، مدل چندجمله‌ای درجه دوم از نظر آماری توانایی پیش‌بینی دقیق مقدار بازیابی آلفاامیلاز را دارد.



شکل ۱ نمودار مانده برای بازیابی آلفاامیلاز



شکل ۲ نمودار احتمال نرمال در مقابل مقدار باقیمانده برای بازیابی آلفاامیلاز

جدول ۳ نتیجه‌های محاسبه شده و پیش‌بینی شده بازده بازیابی آلفاامیلاز

آزمایش	pH	سرعت جریان	غلظت	تجربی	پیش‌بینی شده	پاسخ (%)
۱	۷	۱/۴	۷۵	۵۳/۷۵	۵۵,۰۰۰۲۵	۴,۱۴۵۷۹
۲	۶	۱/۷	۱۰۰	۵۸/۷۶	۵۸,۲۰۰۷۶	
۳	۶	۱/۷	۵۰	۵۰/۹۸	۵۰,۶۳۹,۶	
۴	۸	۱/۱	۵۰	۴۵/۱۳۶۵۹	۴۵,۶۴	
۵	۵	۱/۴	۷۵	۳۸/۶۵	۳۹,۱۷۰,۸	
۶	۷	۱/۴	۷۵	۵۶/۷۴	۵۵,۰۰۰۲۵	
۷	۷	۱/۴	۷۵	۵۵/۲۱	۵۵,۰۰۰۲۵	
۸	۷	۱/۴	۲۵	۴۹/۳۶	۴۹,۹۵۶,۰	
۹	۷	۱/۴	۷۵	۵۴/۹۷	۵۵,۰۰۰۲۵	
۱۰	۷	۱/۴	۷۵	۵۳/۰,۷	۵۵,۰۰۰۲۵	
۱۱	۷	۰,۸	۷۵	۳۸/۸۷۹۵۹	۳۸,۸۷۹۵۹	
۱۲	۷	۱/۴	۷۵	۵۵/۲۱	۵۵,۰۰۰۲۵	
۱۳	۷	۱/۴	۱۲۵	۶۰/۷۴	۶۱,۱۹۹۴۵	
۱۴	۹	۱/۴	۷۵	۴۴/۴۹	۴۵,۰,۸۹۸۲	
۱۵	۸	۱/۷	۱۰۰	۶۲,۲۳۲۱۳		
۱۶	۸	۱/۷	۵۰	۵۲/۴۹	۵۱,۷۹۵۴۳	
۱۷	۶	۱/۱	۵۰	۴۳/۸۹	۴۳,۱۸۵۳۱	
۱۸	۷	۲/۰	۷۵	۵۳/۷۵	۵۹,۷۴۷۱۸	
۱۹	۶	۱/۱	۱۰۰	۵۸/۷۶	۴۳,۹۹۲۰,۱	
۲۰	۸	۱/۱	۱۰۰	۵۰/۹۸	۴۸,۸۰۸۳۹	

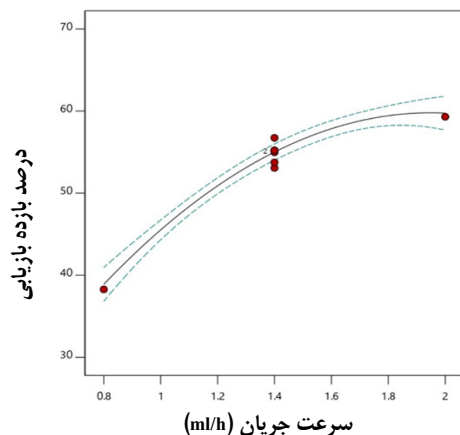
در این حالت، همه داده‌ها باید در گستره $\pm 4,14579$ باشند. همان‌طور که در شکل ۱ نشان داده شده است، همه داده‌ها در این گستره هستند. این همخوانی نشان می‌دهد که مشکلی در مدل پیشنهادی وجود ندارد.

شکل ۲ نمودار احتمال بهنجار در مقابل مقدار باقیمانده را نشان می‌دهد، که داده‌های استفاده شده نزدیک به خط مستقیم است و فرض طبیعی بودن داده‌های تجربی را اثبات می‌کند. نمودار مقادیر پیش‌بینی شده در برابر مقادیر واقعی برای بازیابی آلفاامیلاز در شکل ۳ نشان داده شده است. توزیع مناسب نقاط در اطراف خط مورب (خط ۴۵ درجه)

نتیجه‌ها و بحث

تأثیر سرعت جریان

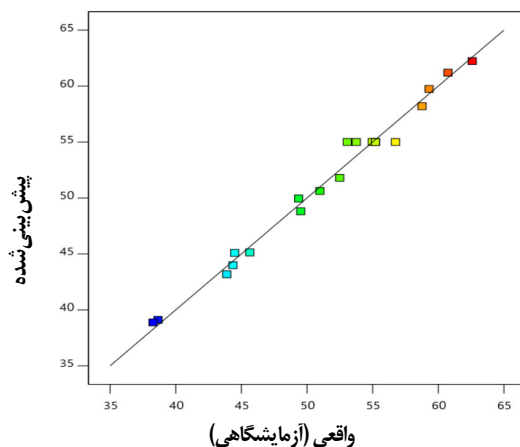
تأثیر تغییر سرعت جریان فازهای متفاوت در گسترهای که جریان موازی بوده بررسی شد. با توجه به شکل ۴ بر خلاف آنچه در سرعت جریان‌های پایین مشاهده شد؛ با افزایش سرعت جریان، نیروی محركه انتقال جرم از فاز نمک به فاز PEG با افزایش همراه شد. بازده بازیابی محاسبه شده با سرعت جریان 0.8 ml/h برابر با $38/27\%$ بود و با سرعت جریان 1.7 ml/h به $58/67\%$ و با افزایش بیشتر سرعت جریان به 2 ml/h ، بازدهی به $59/56\%$ رسید.



شکل ۴ تأثیر سرعت جریان بر بازده بازیابی آلفا آمیلاز در غلظت اولیه آلفا آمیلاز برابر با 75 mg/l و pH برابر 7

pH تأثیر

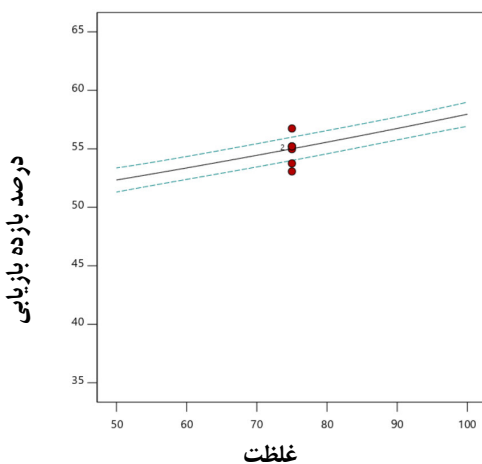
تأثیر pH بر تفکیک زیستمولکول‌ها با تغییر زیستمولکول و نیز نوع سامانه دو فازی آبی تغییر می‌کند. pH موجب تغییر ساختار زیستمولکول می‌شود و رفتار تفکیک آن را متتحول می‌سازد. تغییر در مقدار استخراج را می‌توان با درنظر گرفتن بار سطح زیستمولکول در مقایسه با نقطه هم‌بار آن (pI) توضیح داد. وقتی pH سامانه بالاتر از pI آلفا آمیلاز است، آلفا آمیلاز بار منفی خالص را حمل می‌کند. مشاهده شد که



شکل ۳ همخوانی بین مقادیر پیش‌بینی شده و آزمایشگاهی بازده بازیابی آلفا آمیلاز

جدول ۴ تحلیل وردابی برای استخراج ریزسیالی آلفا آمیلاز

منبع	مجموع مریع‌ها	مریع‌ها	میانگین مریع‌ها	مقدار F	مقدار P
مدل	۹۲۵/۹۹	۹	۱۰۲/۸۹	۸۱/۹۹	< ۰/۰۰۰۱
A-pH	۳۵/۷۹	۱	۳۵/۷۹	۲۸/۵۲	۰/۰۰۰۳
سرعت جریان-B-	۴۳۵/۴۵	۱	۴۳۵/۴۵	۳۴۶/۹۹	< ۰/۰۰۰۱
غلظت-C-	۱۲۶/۵۱	۱	۱۲۶/۵۱	۱۰۰/۸۱	< ۰/۰۰۰۱
AB	۰/۳۰۸۱	۱	۰/۳۰۸۱	۰/۲۴۵۵	۰/۶۳۱۰
AC	۴/۱۰	۱	۴/۱۰	۳/۲۷	۰/۱۰۰۷
BC	۲۲/۸۸	۱	۲۲/۸۸	۱۸/۲۳	۰/۰۰۱۶
A ²	۲۶۱/۵۸	۱	۲۶۱/۵۸	۲۰۸/۴۴	< ۰/۰۰۰۱
B ²	۵۰/۸۲	۱	۵۰/۸۲	۴۰/۵۰	< ۰/۰۰۰۱
C ²	۰/۵۲۵۳	۱	۰/۵۲۵۳	۰/۴۱۸۶	۰/۵۳۲۲
پاقیمانده	۱۲/۵۵	۱۰	۱۲/۵۵		
نقص برآذش	۴/۳۳	۵	۰/۸۶۵۸	۰/۵۲۶۶	۰/۷۵۰۷
خطای خالص	۸/۲۲	۵	۱/۶۴		
مجموع	۹۳۸/۵۴	۱۹			



شکل ۶ تأثیر غلظت اولیه آلفاامیلاز بر بازده بازیابی آلفاامیلاز در pH برابر با ۷ و سرعت جریان ۱/۴ ml/h

تعیین مقدار عامل‌ها در حالت بهینه

برپایه جدول ۵، مقداری بهینه از متغیرهای عملیاتی برای دستیابی به بیشینه درصد بازیابی آلفا‌امیلاز تعیین شد. مقدار بازیابی محاسبه شده در نقطه بهینه آزمایش انجام پذیرفت که با مقدار بهدست آمده از طراحی آزمایش مقایسه شد. همان‌طور که در جدول ۵ نشان داده است، درصد خطا کمتر از ۱٪ بهدست می‌آید. بنابراین، مدل پیشنهادی می‌تواند بازیابی آلفاامیلاز را به عنوان گستره عملیاتی این پژوهش پیش‌بینی کند [۲۲].

جدول ۵ مقداری بهینه عامل‌ها و درصد بازیابی پیش‌بینی شده و تجربی

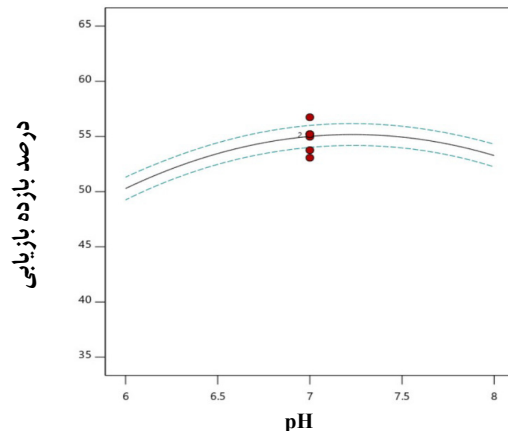
مقادیر بهینه	عامل
۷/۴۱	pH
۱/۶۸	نرخ جریان (ml/h)
۹۷/۶	غلظت آلفاامیلاز (mg/l)
واقعی پیش‌بینی شده درصد خطا	درصد بازیابی آلفاامیلاز
۰/۵۴	۶۳/۰۸
	۶۲/۷۴

افزایش و کاهش میزان بازیابی آلفاامیلاز با pH سامانه در حالی که در گستره ۵/۰ تا ۷/۰ بود، ارتباط مستقیم داشت. همان‌طور که در شکل ۵ مشخص است، با افزایش pH مقدار بازیابی نیز افزایش می‌یابد. کاهش میزان استخراج در pH بیشتر از ۷/۰ ممکن است به دلیل غلبه بر نیروی الکترواستاتیک بر نیروی آب‌گریز باشد [۲۱].

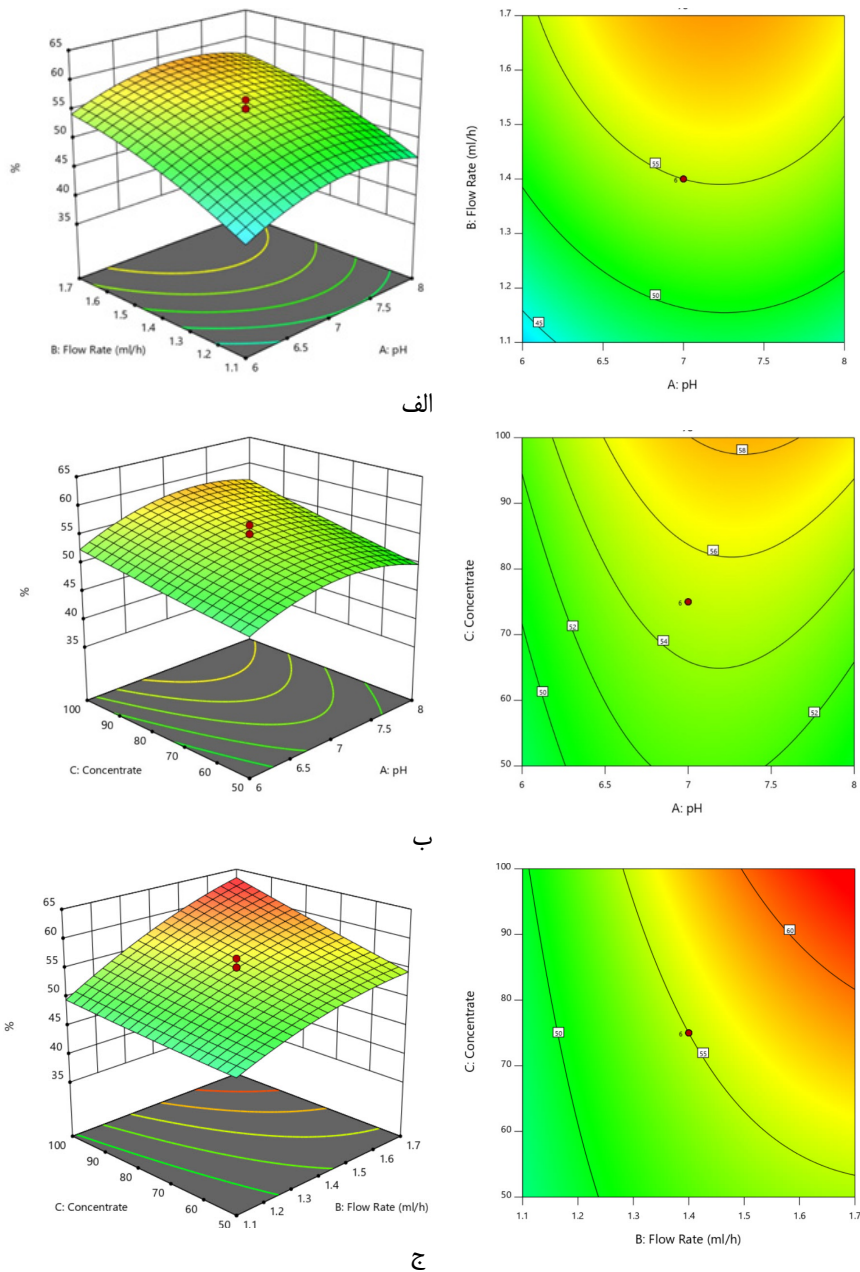
تأثیر غلظت اولیه آلفاامیلاز

مقدار زیست‌مولکول موجود در سامانه دو فازی آبی تأثیر مهمی بر تفکیک آن‌ها داشت. با افزایش غلظت آلفاامیلاز در سامانه دو فازی آبی، ناخالصی‌ها در فاز نمک افزایش یافت. با افزایش غلظت آلفاامیلاز از مقدادیر کم تا متوسط، بازیابی آلفاامیلاز افزایش و پس از آن کاهش یافت (شکل ۶).

همچنین، در شکل ۷ تأثیر متقابل عامل‌ها نشان داده شده است.



شکل ۵ تأثیر pH فاز خوراک بر بازده بازیابی آلفاامیلاز در غلظت اولیه آلفاامیلاز برابر با ۱ mg/l و سرعت جریان ۱/۴ ml/h



شکل ۷ نمودار سطح پاسخ بازیابی آلفا آمیلاز. تأثیر متقابل بین سرعت جریان و pH در غلظت اولیه آلفا آمیلاز ۷۵ mg/l (الف)، تأثیر متقابل بین غلظت اولیه آلفا آمیلاز و pH در سرعت جریان ۱/۴ml/h (ب) و تأثیر متقابل بین سرعت جریان و غلظت اولیه آلفا آمیلاز در pH برابر با ۷ (ج)

pH_{۱۶۸} / mg / h = ۹۷/۶ و غلظت آلفا-آمیلاز ۷/۴۱٪ بازیابی ۰/۸۳٪ به دست آمد. افزون براین، استفاده از سامانه‌های ریزسیالی در عملکرد بازیابی آلفا-آمیلاز موجب کاهش زمان عملیات شد. رفتار زیست‌مولکول‌ها در محیط دو فازی آبی بی‌همتا است. این به دلیل واکنش‌های شیمیایی و فیزیکی مربوط به آب‌گریزی سطح، بار و اندازه است که در روند تقسیم نقش دارد و در محیط ریزسیال اهمیت ویژه‌ای پیدا می‌کند. تراشه تولیدشده برای بازیابی آلفا-آمیلاز به عنوان نمونه‌ای از کاربرد آزمایشگاه بر روی تراشه قادر به نظارت و بهینه‌سازی فرایند استخراج و خالص‌سازی زیست‌مولکول‌هاست. مدل پیشنهادی می‌تواند مدل خوبی برای بهینه‌سازی عامل‌های مورد بررسی در این پژوهش باشد.

نتیجه‌گیری

سامانه دو فازی آبی نسبت به سامانه‌های متدائل و سنتی آبی-حلال آبی دارای مزیت‌های بیشتری است که در صورت ترکیب با سامانه‌های ریزسیالی این مزیت‌ها و کاربرد آن دو چندان می‌شود. نتیجه‌های به دست آمده بسیار امیدوارکننده بود و نشان داد که ترکیب سامانه دو فازی آبی با ریزسیال، پتانسیل بالای برای تبدیل شدن به روشی بی‌نقص برای جداسازی مولکول‌های زیستی است. در این پژوهش، یک سامانه ریزسیال با عرض $400\text{ }\mu\text{m}$ و عمق $300\text{ }\mu\text{m}$ و طول $8\text{ }\mu\text{m}$ ، با روش لیزر CO_2 برپایه شیشه ساخته شد و با موفقیت برای بازیابی آلفا-آمیلاز با سامانه دو فازی آبی مورد بررسی قرار گرفت. ایجاد یک جریان آرام با الگوی جریان موازی و پیوسته امکان‌پذیر شد. در سرعت جریان

مراجع

- [1] Pazuki, G.R.; Taghikhani, V.; Vossoughi, M.; Part. Sci. Technol. 28, 67–73, 2010.
- [2] Tehrani, M.A.S.; Haghtalab, A.; J. Chem. Eng. Data. 64, 5448–5461, 2019.
- [3] Soares, R.R.G.; Silva, D.F.C.; Fernandes, P.; Azevedo, A.M.; Chu, V.; Conde, J.P.; Aires-Barros, M.R.; Biotechnol. J. 11, 1498–1512, 2016.
- [4] Yin, C.Y.; Nikoloski, A.N.; Wang, M.; Miner. Eng. 45, 18–21, 2013.
- [5] Xu, C.; Xie, T.; Ind. Eng. Chem. Res. 56, 7593–7622, 2017.
- [6] Abbasi, A.; Seifollahi, Z.; Rahbar-kelishami, A.; Sep. Sci. Tech. 56, 1047–1059, 2020.
- [7] Farahani, A.; Rahbar-kelishami, A.; Shayesteh, H.; Sep. Purif. Technol. 258, 118031, 2020.
- [8] Hardt, S.; Hahn, T.; Lab on a Chip 12, 434–442, 2012.
- [9] Vicente, F.A.; Plazl, I.; Ventura, S.P.M.; Žnidaršič-Plazl, P.; Green Chem. 22, 4391–4410, 2020.
- [10] Münchow, G.; Schönfeld, F.; Hardt, S.; Graf, K.; Langmuir 83, 8547–8553, 2008.
- [11] Meagher, R.J.; Light, Y.K.; Singh, A.K.; Lab on a Chip 8, 527–532, 2008.
- [12] Lu, Y.; Xia, Y.; Luo, G.; Microfluid. Nanofluidics 10, 1079–1086, 2011.
- [13] Huang, Y.; Meng, T.; Guo, T.; Li, W.; Yan, W.; Li, X.; Wang, S.; Tong, Z.; Microfluidics and Nanofluidics 16, 483–491, 2014.
- [14] Novak, U.; Lakner, M.; Plazl, I.; Žnidaršič-Plazl, P.; Microfluidics and Nanofluidics 19, 75–83, 2015.
- [15] Abbasi, A.; Rahbar-kelishami, A.; Ghasemi, M.J.; J. Rare Earths 36, 1198–1204, 2018.
- [16] Wysoczanska, K.; Macedo, E.A.; Fluid Phase Equilib. 428, 84–91, 2016.
- [17] Raji, F.; Rahbar-kelishami, A.; Colloids Surfaces A Physicochem. Eng. Asp. 624, 126823, 2021.
- [18] Saha, D.; Mukherjee, A.; Biophys. Rev. 10, 795–808, 2018.
- [19] Raji, F.; Rahbar-kelishami, A.; Chem. Eng. Process. - Process Intensif. 163, 108370, 2021.
- [20] Jalilvand, P.; Rahbar-kelishami, A.; Mohammadi, T.; Shayesteh, H.; J. Mol. Liq. 308, 113014, 2020.
- [21] Albertsson, P.; Adv. Protein Chem. 24, 309–341, 1970.
- [22] Azarang, A.; Rahbar-kelishami, A.; Norouzbeigi, R.; Shayesteh, H.; Environ. Technol. Innov. 15, 100432, 2019.

Study of alpha-amylase recovery by aqueous two-phase system in micro dimensions

Farshad Raji¹, Ahmad Rahbar Kelishami^{2,*}

1. M.Sc. in Chemical Engineering, Research Lab for Advanced Separation Processes, Faculty of Chemical, Petroleum and Gas Engineering, Iran University of Science and Technology (IUST), Tehran, Iran.

2. Associate of Chemical Engineering, Research Lab for Advanced Separation Processes, Faculty of Chemical, Petroleum and Gas Engineering, Iran University of Science and Technology (IUST), Tehran, Iran.

Abstract: The microfluidic aqueous two-phase system is a suitable platform for the separation and recovery of biomaterials in the field of biotechnology that is not possible or is difficult to achieve in macro methods. In this research, alpha-amylase recovery was investigated with an aqueous two-phase polyethylene glycol/sodium citrate system on a glass microfluidic device made by the Co2-laser method. Effective parameters were tested with different values of concentration (125-150 mg / l) and flow rate (0.8-2 ml / h). The response surface method (RSM) was used to optimally determine the operational parameters. Transfer of alpha-amylase from the salt phase to the polyethylene glycol phase was performed with a parallel flow pattern. The values obtained at the optimal point also had a small error compared to the predicted value of the experimental design equations. The use of the microfluidic system studied in this research will increase the recovery rate compared to macro systems. Also, the reduction of the time of this process in the micro dimensions compared to macro dimensions was significant.

Keywords: Microfluidics, Aqueous Two-phase Systems, Biomolecules, Alpha-amylase, Extraction

* Corresponding author Email: ahmadrahbar@iust.ac.ir

Journal of Applied Research in Chemistry